

مقاله پژوهشی

بررسی استرول‌ها، اسیدهای چرب و شاخص‌های کیفی عصاره لیپیدی حاصل از محصولات جانبی میگوی ببری سبز (*Penaeus semisulcatus*)

زهرا موسوی^۱، سید فخرالدین حسینی^{۲*}

۱. دانشجوی دکتری، گروه فرآوری محصولات شیلاتی، دانشکده علوم دریایی، دانشگاه تربیت‌مدرس، نور، ایران

۲. دانشیار، گروه فرآوری محصولات شیلاتی، دانشکده علوم دریایی، دانشگاه تربیت‌مدرس، نور، ایران

(تاریخ ارسال: ۱۴۰۴/۰۲/۱۴، تاریخ آخرین بازنگری: ۱۴۰۴/۰۵/۲۵، تاریخ پذیرش: ۱۴۰۴/۰۵/۲۵)

چکیده

باقی‌مانده‌های مواد خام حاصل از فرآوری میگو منبعی از مواد زیستفعال ارزشمند (مانند لیپیدها و آستازانتین، یک کاروتونوئید با ظرفیت آنتی‌اسیدانی بسیار قوی) جهت استفاده در صنایع غذادارویی و آرایشی بهداشتی هستند. استخراج این ترکیبات نه تنها می‌تواند اثرات زیستمحیطی مرتبط با ضایعات حاصل از فرآوری میگو را کاهش دهد، بلکه منجر به مزایای اقتصادی نیز می‌گردد. لذا، هدف از مطالعه حاضر، استخراج عصاره لیپیدی غنی از آستازانتین از محصولات جانبی میگوی ببری سبز (*Penaeus semisulcatus*) و بررسی استرول‌ها، اسیدهای چرب، میزان آستازانتین و شاخص‌های کیفی عصاره لیپیدی استخراج شده بود. نتایج نشان داد: بازده استخراج لیپید ۲/۸۱٪، میزان بازیابی آستازانتین ۱۰/۳۴ mg/100g و روغن و شاخص رنگ‌سنگی^a که بیانگر کیفیت مناسب رنگی است، ۱۸/۱۳ بود. بررسی ترکیب اسیدهای چرب با آنالیز کروماتوگرافی گازی (GC) نیز نشان داد عصاره لیپیدی میگو غنی از اسیدهای چرب چندغیراشباع امگا-۳-PUFA (ω-3 PUFA) (۱۳/۰٪) می‌باشد که اهمیت این منبع لیپیدی را نشان می‌دهد. مقدار کلسترول موجود در عصاره لیپیدی میگو در حدود ۵۷۰ mg/100 g و روغن بود که مطابق مقادیر گزارش شده درخصوص محصولات دریایی بود. همچنین، آنالیز ترکیبات لیپیدی نشان داد که عصاره لیپیدی از ۱۳ ترکیب مختلف تشکیل شده است که بیشترین مقدار مربوط به ترکیب Cholesta-3,5-diene می‌باشد. بررسی پایداری اکسایشی عصاره لیپیدی نیز مؤید آن بود که مقادیر شاخص‌های اکسیداسیون (پراکسید: ۲/۲۱ mg/kg، هیدروپراکسید کومن/لیپید و اسید تیوباربیتوريک: ۰/۳۱ mg/kg مالون‌آلدئید/لیپید) در سطح مطلوبی قرار دارد. این ویژگی‌ها، محصولات جانبی میگوی ببری سبز را به عنوان یک منبع با ارزش از ترکیبات زیستفعال و اسیدهای چرب مفید معرفی می‌کند که می‌تواند در صنایع غذایی، غذادارویی و آرایشی بهداشتی مورد استفاده قرار گیرد.

واژه‌های کلیدی: محصولات جانبی میگو؛ عصاره لیپیدی؛ آستازانتین؛ اسیدهای چرب چندغیر اشباع؛ کلسترول.

۱. مقدمه

۶۵-۷۰ کلسترونول / لیپید است [۱]. علی‌رغم نیاز بدن به کلسترونول به منظور ساخت هورمون‌ها، ویتامین D و غیره، سطوح بالای کلسترونول می‌تواند با مواد دیگر ترکیب و باعث تصلب شرایین و پلاک خون شود [۱۰]. در این راستا، راجو و همکاران [۱۱]، جهت بهبود کیفیت تغذیه‌ایی لیپید استخراج شده از سفالوتوراکس می‌گویی پاسفید غربی (*L. vannamei*) مقادیر کلسترونول را با به‌کارگیری ساپونین و بتا سیکلودکسترین کاهش دادند، بطوریکه در حدود ۹۸/۴٪ کلسترونول از عصاره لیپیدی غنی از کلسترونول که در آن از سیکلودکسترین (b-CD) / حلال‌های مخلوط (اتیل استات/آب، ۱:۱) به نسبت ۲۰:۱۰ (حجمی/وزنی) استفاده شده بود، حذف شد. همچنین، محتوای آستازانتین در مقایسه با نمونه حاوی لیپید، سه برابر و ایکوزاپنتانوئیک اسید (EPA) و دوکواهگزانوئیک اسید (DHA) نیز به‌طور قابل توجهی افزایش یافتند. عارف و همکاران [۱۲] نیز اثرات تجویز مکمل روغن می‌گویند بر عوامل خطر قلبی-متabolیک در کودکان و نوجوانان دارای اضافه‌وزن را به مدت ۸ هفته (روزانه mg ۵۰۰) بررسی کردند. یافته‌های این مطالعه نشان داد که مصرف روغن می‌گو توأثیر معنی‌داری بر سطوح کلسترونول کل، تری‌گلیسرید، HDL-C^۳ و LDL-C^۳ نشان نداد. همچنین، تفاوت آماری معنی‌داری در فشار خون سیستولیک^۴ و دیاستولیک^۵ بین دو گروه مشاهده نشد و تغییراتی در شاخص توده بدنی (BMI^۶) نیز ایجاد نشد. در مطالعه‌ای دیگر، اثرات محافظتی لیپیدهای مشتق شده از می‌گو (SL^۷) در برابر آسیب سلول‌های اندوتیال^۸ ناشی از استرس شبکه آندوپلاسمی، که یک عامل کلیدی در بیماری‌های قلبی عروقی است، بررسی شد. نتایج نشان داد که پیش‌درمانی با SL (µg/ml ۵۰۰-۲۵۰) به‌طور قابل توجهی زنده ماندن سلول‌های اندوتیال تحت استرس را بهبود می‌بخشد. به‌طوری‌که سلول‌هایی که به تنها‌ی در معرض تاپسیگارین (Tg^۹) قرار گرفتند، ۴۴/۹٪ زنده‌مانی را نشان دادند، در

افزایش تقاضای می‌گو، به‌ویژه به شکل آماده برای طبخ یا آماده مصرف، منجر به افزایش میزان فرآوری می‌گو شده است [۱]. طی فرآوری می‌گو، در حدود ۴۰-۵۰٪ محصولات جانبی به شکل سفالوتوراکس، کاراپاس، دم و اندام‌های داخلی تولید می‌شود که غالباً دور ریخته می‌شوند و باعث مشکلات زیست‌محیطی می‌گردد [۲]. در این راستا، مدیریت بهینه محصولات جانبی می‌گو نه تنها می‌تواند آلودگی‌های زیست‌محیطی ناشی از دفع ضایعات را به حداقل رساند، بلکه با استخراج ترکیبات با ارزش از محصولات جانبی، می‌تواند به توسعه پایدار و افزایش سودآوری صنعت منجر شود [۳]. باقی‌مانده‌های مواد خام حاصل از فرآوری می‌گو حاوی تقریباً ۱۵٪ چربی، ۴۰٪ پروتئین، ۳۵٪ مواد معدنی، ۱۴ تا ۳۰٪ کیتین و آستازانتین (۱۴۸-۲۳ µg/g ضایعات خشک) است [۴]. عصاره لیپیدی می‌گو حاوی مقادیر بالایی از اسیدهای چرب چندغیراشبع امگا-۳ (ω-3 PUFA) به‌ویژه ایکوزاپنتانوئیک اسید (EPA) و دوکواهگزانوئیک اسید (DHA) است [۵]. عصاره لیپیدی می‌گو همچنین حاوی اسیدهای چرب اشباع شده (SFAs)^۱ است که می‌تواند منجر به افزایش سطح لیپوبروتئین با چگالی کم و تغییر پاسخ التهابی شود [۶]. راجو و همکاران [۷] گزارش کردند که سفالوتوراکس می‌گو دارای محتوای چربی ۱۱/۷۹ ± ۰/۴۱٪ است، در حالی‌که کاراپاس و دم حاوی ۳/۷۳ ± ۰/۳۴٪ چربی می‌باشدند.

به‌علاوه، لیپید می‌گو سرشار از آستازانتین می‌باشد که برای بهبود سلامت انسان بسیار مفید می‌باشد. آستازانتین یک کاروتونوئید مهم با توانایی تخریب کنندگی رادیکال‌های آزاد و ۵۰۰ برابر فعالیت ضد اکسیدانی بالاتر از توکوفرول (ویتامین E) می‌باشد. بنابراین، آستازانتین یک «سوپر ویتامین E» نامیده می‌شود که به‌دلیل ساختار مولکولی منحصر به فرد خود، دارای قابلیت‌های آنتی‌اکسیدانی عالی است [۸].

اگرچه عصاره لیپیدی می‌گو غنی از ترکیبات زیست‌فعال است، در عین حال حاوی کلسترونول نیز می‌باشد [۹]. گزارش شده است لیپید استخراج شده از سفالوتوراکس می‌گویی پاسفید غربی (*Litopenaeus vannamei*) حاوی mg/100g

1. Saturated fatty acids

- 2. High-density lipoprotein cholesterol
- 3. Low-Density Lipoprotein Cholesterol
- 4. Systolic
- 5. Diastolic
- 6. Body Mass Index
- 7. Shrimp-derived lipids
- 8. Endothelial cells
- 9. Thapsigargin

ادامه، لیپیدهای به دست آمده تحت خلاء با استفاده از تبخیر کننده چرخشی تغییض شدند.

۲.۲. بازدهی لیپید کل

بازدهی کل با استفاده از معادله زیر با محاسبه جرم عصاره بدست آمده از استخراج سوکسله و وزن ضایعات مورد استفاده برای استخراج تعیین شد [۱۶].

$$\text{٪}(\text{بازدهی کل}) = \frac{100 \times \text{وزن عصاره لیپیدی}}{\text{وزن ضایعات}} \quad (1)$$

۳.۲. تعیین غلظت آستازانتین

غلظت آستازانتین با اندازه‌گیری جذب در طول موج ۴۶۲nm با استفاده از یک اسپکتروفوتومتر Perkin Elmer lambda ۲۵ Chemical, St. Sigma (Louis, MO, USA) برای تعیین منحنی کالیبراسیون استفاده شد. محلول مادر استاندارد آستازانتین با حل کردن ۱ mg ۱۰۰ ml متابول تهیه شد. محلول‌های مادر به صورت سریالی با متانول رقیق شدند تا محلول‌های استاندارد به منظور کالیبراسیون تهیه شوند [۱۷].

۴.۲. سنجش رنگ

رنگ عصاره لیپیدی با استفاده از دستگاه رنگ‌سنج قابل حمل Sheen 181/3, Micromatch™ Plus (Sheen, آلمان) اندازه‌گیری شد. نتایج به صورت L^* , a^* و b^* بیان شد که در آن مقدار L^* «روشنایی» یک نمونه از ۰ تا ۱۰۰ است که عدد ۱۰۰ نمایانگر رنگ سفید خالص است، مقدار a^* قرمز (+) تا سبز (-) و مقدار b^* نشان‌دهنده زرد (+) تا آبی (-) است [۱۸].

۵.۲. پروفایل اسیدهای چرب

به منظور بررسی و شناسایی اسیدهای چرب موجود در نمونه از روش Metcalfe و همکاران [۱۹] استفاده شد. حدود ۱۵۰ ml نمونه با ۴ ml محلول متانولی سود (۰/۵ M) مخلوط و به مدت ۵ دقیقه در حمام آب با دمای 100°C حرارت داده شد. سپس، ۵ml محلول متانولی بورون تری‌فلوئوراید (BF3) (۱۲٪) اضافه شد و مخلوط به مدت ۳۰ دقیقه گرم شد.

حالی که پیش‌تیمار SL زنده‌مانی را به $\mu\text{g}/\text{ml}$ ۷۷/۲۶٪ و $\mu\text{g}/\text{ml}$ ۷۲/۴۲٪ (۵۰۰ $\mu\text{g}/\text{ml}$) افزایش داد [۱۳].

میگوی ببری سبز (*Penaeus semisulcatus*) یکی از گونه‌های مهم تیره پنائوس است که بیشترین فراوانی و اهمیت اقتصادی را در صید استان‌های بوشهر و خوزستان دارد. طبق آمار سازمان تحقیقات شیلات ایران (IFRO)، میزان تخمینی صید این گونه در سال ۱۴۰۰ حدود ۷۹۴۲ تن بود [۱۴]. با این حال، ترکیب اسیدهای چرب و محتوای کلسترول موجود در عصاره لیپیدی محصولات جانبی میگوی ببری سبز مورد مطالعه قرار نگرفته است. لذا، مشخص نمودن ترکیب اسیدهای چرب، کلسترول، محتوای آستازانتین و شاخص‌های اکسایشی می‌تواند اطلاعات مفیدی در خصوص خواص تغذیه‌ای عصاره لیپیدی در اختیار قرار دهد. در مطالعه حاضر، برای اولین بار ترکیب اسیدهای چرب، مقدار کلسترول، محتوای آستازانتین، میزان باقی‌مانده حلال و شاخص‌های کیفیتی عصاره لیپیدی (پراکسید، PV و تیوباریتوريک اسید، TBA) میگوی ببری سبز جهت کاربردهای غذادارویی مورد بررسی قرار می‌گیرد.

۲. مواد و روش‌ها

۱.۲. استخراج عصاره لیپیدی میگو

ضایعات میگوی ببری سبز از مراکز فرآوری میگو در استان بوشهر تهیه شد. نمونه‌ها در ظرف پلی‌اتیلن حاوی یخ (با نسبت ۱:۴) قرار گرفتند و به آزمایشگاه فناوری نانو، دانشکده علوم دریایی دانشگاه تربیت مدرس منتقل شدند. محصولات جانبی میگو (سفالوتوراکس، پوسته و دم) پس از شستشو، به مدت ۴۸ ساعت در خشک‌کن انجامدی (OPR-FDU-7012, Operon, کره) خشک گردید. سپس در یک خردکن آزمایشگاهی (Depose, Moulinex, ایتالیا) خرد شده و با یک غربال با اندازه منافذ ۴۵۰ میکرومتر الک شدند. به منظور استخراج عصاره لیپیدی از ضایعات میگو، از روش سوکسله استفاده شد [۱۵]. بدین‌منظور، gr ۳ ضایعات میگو در فنجان‌های مخصوص سوکسله قرار داده شد که به تدریج با حلal هگزان/ استون (نسبت ۵۰:۵۰ حجمی) پر شدند. استخراج برای مدت زمان ۲ ساعت در دمای 50°C با نسبت نمونه به حلal ثابت (۱ به ۴، وزنی/حجمی) انجام شد. در

غیرقطبی انجام شد و از آشکارساز FID برای تشخیص استفاده گردید.

۸.۲. بررسی پروفایل عصاره لیپیدی

برای تعیین پروفایل یک روغن ناشناخته، می‌توان از روش‌های مختلفی استفاده کرد که یکی از رایج‌ترین آن‌ها کروماتوگرافی GC-MS Capillary گازی (GC) است. بدین منظور از دستگاه GC (GC) است. بدین منظور از دستگاه گازی با استفاده شد. زمان بازداری Column: 30m, 0.25mm, 0.5 μ m است. در نتیجه مساحت زیر هر پیک برای تعیین غلظت نسبی شوند. در نتیجه مساحت زیر هر پیک برای تعیین غلظت نسبی یا مطلق هر ترکیب مورد استفاده قرار گرفت.

۹.۲. بررسی شاخص‌های کیفیت عصاره لیپیدی میگو

۹.۲.۱. سنجش مقادیر پراکسید (PV^۱)

میزان پراکسید نمونه‌های لیپیدی با استفاده از روش گلزار و بنجاكول [۲۲] تعیین شد. ۱ml ۵۰ نمونه با استفاده از اتانول ۷۵٪ (حجمی- حجمی) ده برابر رقیق شد. در ادامه، حدود ۳۰٪ ۲/۳۵ ml نمونه آماده شده به ۱ml ۵۰ تیوسیانات آمونیوم (حجمی- حجمی) و ۱ml ۵۰ mM ۲۰ کلرید فروس در ۳/۵٪ HCl (وزنی- حجمی) اضافه شد. این مخلوط کاملاً هم‌زده شد و تغییرات رنگ آن با استفاده از دستگاه اسپکتروفوتومتر (طول موج ۵۰۰ nm) تشخیص داده شد. غلظت هیدروپراکسید با رسم منحنی استاندارد ساخته شده از هیدروپراکسید کومن (۰/۲-۵ ml/kg) تعیین و مقادیر به صورت هیدروپروکسید کومن / عصاره لیپید بیان شد.

۹.۲.۲. اندازه‌گیری مواد واکنش‌دهنده اسید تیوباریتوريک (TBARS^۲)

مقادیر TBARS عصاره لیپیدی استخراج شده از محصولات جانبی میگو با روش راجوو و بنجاكول [۲۳] تعیین شد. ابتدا نمونه چربی (۰/۵g) با ۲/۵ ml محلول اسید تیوباریتوريک ۳/۷۵٪ TBA (وزنی- حجمی)، اسیدتریکلرواستیک ۱۵٪ (وزنی- حجمی) و HCl (۰/۲۵ M) مخلوط شده و سپس در آب

جداسازی فاز با ۵ ml محلول کلریدسدیم اشباع و با استفاده از ۱ ml هگزان به عنوان حلal استخراج کننده انجام شد. از دستگاه کروماتوگرافی گازی با آشکارساز یونش شعله (GC-) (FID) با استفاده از ستون مویرگی BPX70 SGE (قطر ۰/۰۵ mm، ضخامت فیلم ۰/۱ μ m، طول ۶۰ m، کمپانی انگلستان) جهت شناسایی اسیدهای چرب استفاده شد. دمای ستون به مدت ۵ دقیقه روی ۱۶۰°C تنظیم شد، که پس از آن با سرعت ۲۰°C در دقیقه به ۱۸۰°C افزایش یافت و به مدت ۹ دقیقه در ۱۸۰°C حفظ شد. سپس، دما با سرعت ۱۰°C در دقیقه به ۱۹۰°C افزایش یافت و به مدت ۱۰ دقیقه حفظ شد. دمای آشکارساز و تزریق کننده به ترتیب در ۲۴۰°C و ۲۸۰°C تنظیم شد. هلیوم به عنوان گاز حامل استفاده شد. در نهایت از نرم‌افزار Varian Star Chromatography (نسخه ۶.۴۱) برای محاسبه مساحت پیک‌ها استفاده شد.

۶.۲. اندازه‌گیری باقیمانده حلal در عصاره لیپیدی استخراج شده

اندازه‌گیری ترکیبات فرار در نمونه به روش استخراج بخار با استفاده از دستگاه GS-MS انجام شد. ابتدا مقدار ۰/۵ g نمونه را برداشته و به ظرف مخصوص نمونه‌برداری دستگاه منتقل کرده و به صورت حرارتی استخراج و بخارات آن به دستگاه (GC-MS capillary Column: 30m, 0.25mm, 0.۵ μ m) تزریق شد [۲۰].

۷.۲. سنجش میزان استرول

جهت سنجش استرول‌های موجود در عصاره لیپیدی حاصل از محصولات جانبی میگو، از استاندارد ملی ایران به شماره ۹۶۰ [۲۱] و روش مبتنی بر GC-FID استفاده گردید. نمونه لیپیدی با محلول هیدروکسید پتاسیم (۰/۵ M/l) در اتانول (۰/۹۵٪) حرارت داده شد تا فرآیند صابونی‌سازی انجام شود. سپس، استرول‌های آزاد شده با استفاده از اتر (۱۰ ml) استخراج شدند. در ادامه، استرول‌های استخراج شده جهت بهبود جداسازی، به مشتقات سیلیله تبدیل و به دستگاه GC تزریق شدند. جداسازی بر روی ستون مویینه با فاز ساکن

1. Peroxide value

2. Thiobarbituric acid reactive substances

مهمی در فرآیند استخراج عصاره‌های حاوی کاروتونئید دارد. عصاره لیپیدی میگو عمدهاً حاوی فسفولیپیدهایی است که طبیعت قطبی دارند؛ بنابراین، یک حلال قطبی برای استخراج موثر موردنیاز است. از طرف دیگر، کاروتونئیدها در حلال‌های غیرقطبی محلول هستند و برای استخراج به حلال‌های غیرقطبی نیاز دارند [۲۵]. لذا، محلولی از حلال‌های قطبی/غیرقطبی نیاز دارند [۲۶]. اثراً، محلولی از حلال‌های قطبی/غیرقطبی برای استخراج عصاره لیپیدی میگو می‌تواند اثر هم‌افزایی داشته باشد. مشابه این پژوهش، مطالعه بر روی غربالگری حلال مناسب جهت استخراج لیپیدها از سفالوتوراکس میگوی پاسفید غربی (*L. vannamei*) نشان داد که محلول حلال‌های غیرقطبی قطبی (هگزان/ایزوپروپانول با نسبت ۱:۱، حجمی/حجمی) منجر به بالاترین بازده استخراج لیپیدها ($0.90 \pm 0.44\%$ بر اساس وزن خشک) می‌گردد [۲۶]. اثرات حلال‌های مختلف (هگزان، استون، اتانول، محلول هگران/اتانول (۱:۱ c/c)، (۲:۱، ۴:۱)، (۱:۲، ۱:۱)، (۱:۴) و محلول استون/اتانول (۱:۱ c/c، ۴:۱)، (۲:۱، ۱:۱)، (۱:۲)، (۱:۴)) بر عملکرد استخراج و ترکیب شیمیایی عصاره لیپیدی استخراج شده از محصولات جانبی میگوی دریایی پاسفید غربی (*L. vannamei*) و میگوی آب شیرین (*Procambarus clarkia*) مورد بررسی قرار گرفت. نتایج نشان داد که محلول اتانول/هگزان (قطبی/غیرقطبی) (۴:۱، حجمی/حجمی) حلال مناسبی جهت استخراج همزمان لیپیدهای قطبی و غیرقطبی است [۲۵]. این یافته‌ها پتانسیل محصولات جانبی میگو را به عنوان منبع ارزشمند روغن و ترکیبات فعال زیستی بر جسته می‌کنند که به استفاده پایدار از محصولات جانبی صنعت غذاهای دریایی کمک می‌کند.

جوش در 90°C به مدت ۱۰ دقیقه حرارت داده شد. پس از ایجاد رنگ صورتی، واکنش با خنکسازی از طریق آب متوقف شد. در ادامه، محلول در دمای 25°C به مدت ۲۰ دقیقه سانتریفیوژ شد. رنگ صورتی مایع رویی با استفاده از دستگاه اسپکتروفتومتر در طول موج ۵۳۲ nm خوانده شد و غلظت - TBARS با رسم منحنی استاندارد tetramethoxypropane (۱،۱،۳،۳ ppm) محاسبه شد. TBARS به صورت ml مالون‌آلدید (MDA^۱) kg/L لیپید بیان شد.

۱۰.۲. تجزیه و تحلیل آماری

تجزیه و تحلیل واریانس (ANOVA) بر اساس مدل خطی عمومی SPSS (نسخه ۲۰.۰، ۲۰۰۷) انجام شد. تفاوت معنی‌داری بین میانگین‌ها با استفاده از آزمون‌های چند دامنه‌ای دانکن با مقادیر $P < 0.05$ از نظر آماری معنی‌دار در نظر گرفته شد.

۱۰.۳. نتایج و بحث

۱۰.۳.۱. لیپید کل

استخراج با سوکسله به عنوان یک روش معمول استخراج منجر به بالاترین بازیابی روغن و کاروتونئیدها می‌گردد. برخی از حلال‌های آلی که برای استفاده در صنایع غذایی مجاز هستند عبارتند از: استون، اتانول، اتیل‌استات، ایزوپروپیل‌الکل، هگزان و متیل‌اتیل‌کتون [۴]. مطابق جدول (۱) استخراج به کمک حلال استون-هگزان منجر به بازیابی مقدار بالایی از عصاره لیپیدی (۲/۸۱٪) از ضایعات میگوی ببری سبز گردید. طبق مطالعات صورت گرفته [۲۶]، نوع حلال و قطبیت آن نقش

جدول (۱) میزان بازدهی، غلظت آستارانتین و شاخص‌های رنگی عصاره لیپیدی استخراج شده.

Table 1. Yield, astaxanthin concentration and color indices of shrimp lipid extract.

Value	Index
$2/81 \pm 0/00$	Lipid yield (%)
$10/34 \pm 0/00$	Astaxanthin concentration (mg/100 g oil)
	color
$23/21 \pm 0/05$	L^*
$18/13 \pm 0/04$	a^*
$19/74 \pm 0/08$	b^*

Data are presented as mean \pm standard deviation (n = 3)

۲.۳. میزان غلظت آستازانتین

فرآیند استخراج تعیین می‌شود [۱۶]. در مورد اثر اکسیداسیون، عظیمی و همکاران [۳۵] با بررسی تغییرات رنگ روغن‌های خوارکی (زیتون، آفتابگردان، پالم و سویا) با استفاده از بررسی تصویر دیجیتال و تحلیل تشخیص خطی (LDA)، نشان دادند که تغییرات شاخص^a و^b در طول اکسیداسیون ثانویه به‌طور معنی داری با افزایش پراکسید و ترکیبات کربونیل مرتبط است. در مورد رنگدانه نیز، سوکاسیو و همکاران [۳۶] به بررسی ترکیبات فیتوشیمیایی (مانند پلی‌فنول‌ها، توکوفروول‌ها و اسکوالن) در هشت دسته از روغن‌های خوارکی (شامل رونگ آفتابگردان، کدوتبل، دانه کتان، شاهدانه، سویا، گردو، خولان دریابی و زیتون) پرداخته و از روش‌های کروماتوگرافی و طیفسنجی جرمی برای تحلیل ترکیبات شیمیایی استفاده کردند. همچنین، تأثیر این ترکیبات بر شاخص‌های رنگی^a و^b و کیفیت کلی روغن‌ها را مورد مطالعه قرار دادند. نتایج نشان داد که حضور رنگدانه‌هایی مانند کاروتونوئیدها و کلروفیل تأثیر مستقیمی بر شاخص‌های رنگی دارد به‌طوری که روغن‌هایی با مقادیر بالای کاروتونوئیدها، شاخص^a بالاتر داشتند (رنگ قرمزتر) در صورتیکه روغن‌های حاوی کلروفیل شاخص^b بالاتر داشتند (رنگ سبزتر). همچنین روغن‌هایی با مقادیر بالای این ترکیبات مقاومت بیشتری در برابر اکسیداسیون نشان دادند. به‌طورکلی یافته‌های رنگ‌سنجی نشان می‌دهد که عصاره لیپیدی استخراج شده از محصولات جانبی می‌گویی بری سبز از محتوای رنگ و غلظت کارتوئید مناسبی برخوردار می‌باشد که آن را برای کاربردهای غذایی و آرایشی بهداشتی مناسب می‌سازد.

۴.۳. بررسی اسیدهای چرب

جدول (۲) نشان می‌دهد که انواع اسیدهای چرب (FAs^a) در عصاره لیپیدی استخراج شده متعلق به اسیدهای چرب چندغیراشباع (PUFA^۳)، اسیدهای چرب تکغیراشباع (MUFA^۴) و اسیدهای چرب اشباع (SFA^۵) هستند. طبق نتایج، عصاره لیپیدی استخراج شده حاوی مقادیر بالای از

همانطور که در جدول (۱) نشان داده شده است، محتوای آستازانتین عصاره لیپیدی استخراج شده از محصولات جانبی می‌گویی بری سبز در حدود ۱۰/۳۴ ml/100g روغن بود که بسیار بالاتر از مطالعات سانتوس و همکاران [۲۷] و هو و همکاران [۲۸] بود که به ترتیب ۳/۲ ml/100g روغن با استفاده از حلal اتانول/کولین‌کلرايد برای ضایعات می‌گویی پاسفید غربی (*L. vannamei*) و ۴/۳ ml/100g روغن با حلal اتانول برای ضایعات می‌گویی آب شیرین (*P. clarkia*) بود. همچنین، نتایج این تحقیق در تطابق با مطالعات قبلی که مقادیر بالای آستازانتین را در عصاره لیپیدی استخراج شده از ضایعات می‌گو با استفاده از حلal استون گزارش نمودند، می‌باشد [۳۰، ۲۴، ۲۹]. در میان حلال‌های مورد استفاده جهت استخراج آستازانتین مانند استون، اتانول، متانول، استونیتریل و هگزان، پیشنهاد شده استون به عنوان مناسب‌ترین حلال می‌باشد، زیرا ساختار آن حاوی گروه‌های کربونیل زیادی است که بسیار شبیه به آستازانتین هستند [۳۱]. همچنین به خوبی شناخته شده است که آستازانتین کاروتونوئید اصلی در می‌گو است و عمدهاً به عنوان استرهای آستازانتین در اسیدهای چرب مختلف وجود دارد؛ بنابراین، مخلوط حلال‌های قطبی/غیرقطبی ممکن است قطبیتی مشابه با استرهای آستازانتین داشته باشد، و آن را به حلال مناسبی برای استخراج آستازانتین از سخت‌پوستان (عمدتاً می‌گو و خرچنگ) تبدیل کند [۲۵].

۳.۳. رنگ عصاره لیپیدی استخراج شده

نتایج رنگ‌سنجی در جدول (۱) نشان داده شده است. پرکاربردترین معیارهای سنجش رنگ شامل روش‌نایی (L^{*}، a^{*} و زردی b^{*}) است. مقدار a^{*} به‌طورکلی بهترین همبستگی را با سطوح کاروتونوئید نشان می‌دهد [۳۲]. در مطالعه حاضر، مقدار بالای a^{*} (۱۸/۱۳) عصاره لیپیدی استخراج شده با حلal استون-هگزان احتمالاً به‌دلیل محتوای بالای رنگدانه آستازانتین است. چندین مطالعه دیگر نیز همبستگی بین شاخص قرمزی (مقدار a^{*}) مواد غذایی و غلظت کاروتونوئید کل را گزارش کرده‌اند [۱۶، ۳۳، ۳۴]. در واقع رنگ توسط محتوای رنگدانه، ناخالصی‌ها، اکسیداسیون و

1. Linear discriminant analysis
2. Fatty acid synthase
3. Polyunsaturated fatty acids
4. Monounsaturated fatty acids
5. Saturated fatty acid

مقایسه با هگزان حلال مناسب‌تری برای استخراج عصاره لیپیدی غنی از اسیدهای چرب چندغیراشباع (۴۲/۷۸) - (۰/۳۶)٪ از کل اسیدهای چرب برای میگوی پاسفید غربی (L. vannamei) و (۰/۵۸)٪ برای میگوی آب شیرین (P. clarkia) است. محتوای بالاتر PUFA (۰/۴۲)٪ و (۰/۴۷)٪ از کل اسیدهای چرب برای ضایعات میگوی پاسفید غربی (L. vannamei) و میگوی آب شیرین (P. clarkia) که به ترتیب با هگزان- ایزوپروپیلکل و اتانول استخراج شده بود، نیز گزارش شده است [۲۲]. بطور کلی این یافته‌ها به عنوان یک نتیجه امیدوارکننده در نظر گرفته می‌شود زیرا PUFA به دلیل نقش‌های محافظتی از انسان در برابر بیماری‌های قلبی عروقی و سرطان مورد توجه قرار گرفته‌اند.

PUFA ω-3 (۰/۳۳)٪، بهویژه PUFA آلفالینولنیک اسید (ALA) (۰/۲)٪ و ایکوزاپنتانوئیک اسید (EPA) (۰/۲)٪ بود. ترکیب اسیدهای چرب بسته به حلال استخراج کننده، گونه، اندازه، سن، رژیم غذایی، جنسیت، فصل و موقعیت جغرافیایی میگو می‌تواند متفاوت باشد [۳۷]. علاوه بر این، قطبیت حللاها با بازده اسیدهای چرب رابطه مستقیم دارد، به این معنی که استفاده از حللاهای قطبی تر می‌تواند به طور مؤثرتری کیفیت عصاره لیپیدی را به حداقل برساند. [۳۹]. مثلاً، مخلوط حللاهای اتانول و استون استخراج ترکیبات لیپیدی با ارزش را افزایش می‌دهند و نسبت‌های بالاتری از فسفولیپیدها و توکوفرولها را تولید می‌کند [۳۹]. در این زمینه، وانگ و همکاران [۲۵] گزارش کردند اتانول در

جدول (۲) میزان اسیدهای چرب عصاره لیپیدی استخراج شده میگو.

Table 2. Fatty acids content of shrimp lipid extract.

Content (%)	Fatty Acid
۱/۴۴ ± ۰/۱۸ ^{de}	Myristic acid (C14)
۱/۱۹ ± ۰/۰۱ ^e	Pentadecanoic acid (C15)
۱/۸۸ ± ۰/۰۵۷ ^d	Palmitic acid (C16)
۱۵/۹۰ ± ۰/۲۱ ^a	Heptadecanoic acid (C17)
۲/۴۰ ± ۰/۰۱ ^c	Stearic acid (C18)
۸/۴۲ ± ۰/۰۲ ^b	Arachidic acid (C20)
۸/۴۶ ± ۰/۰۶ ^b	Heneicosanoic acid (C21)
۵/۰۷ ± ۰/۰۰ ^c	Behenic acid (C22)
۲/۴۲ ± ۰/۰۰ ^c	Tricosanoic acid (C23)
۱/۷۶ ± ۰/۱۰ ^d	Lignoceric acid (C24)
۴۸/۹۴	ΣSFA
۵/۴۹ ± ۰/۲۲ ^b	Elaidic acid (C18:1n9t)
۱/۰۳ ± ۰/۰۹ ^c	Oleic acid (C18:1n9c)
۱/۰۱ ± ۰/۱۰ ^d	cis-11-Eicosenoic acid (C20:1)
۱/۷۴ ± ۰/۱۰ ^c	Erucic acid (C22:1n9)
۸/۲۳ ± ۰/۰۶ ^a	Nervonic acid (C24:1)
۱۸/۰۰	ΣMUFA
۱۱/۴۲ ± ۰/۱۲ ^a	Linoleic acid (C18:2n6c)
۱/۰۳ ± ۰/۰۵ ^e	γ-Linolenic acid (C18:3n5)
۲/۷۳ ± ۰/۰۷ ^d	α-Linolenic acid (C18:3n3)
۲/۴۸ ± ۰/۰۵ ^d	cis-7,11,14-Eicosatrienoic acid (C20:3n6)
۶/۹۸ ± ۰/۰۷ ^b	cis-11,14,17-Eicosatrienoic acid (C20:3n3)
۳/۳۶ ± ۰/۰۶ ^c	Arachidonic acid (C20:4n6)
۱/۷۳ ± ۰/۰۵ ^e	Cis-13,16-docosadienoic acid (C22:2)

Content (%)	Fatty Acid
۲/۲۹ ± ۰/۰۷ ^d	(EPA)(C20:5n3) Eicosapentaenoic acid
۱/۰۳ ± ۰/۰۱ ^e	(C22:6n3) DHA (Docosahexaenoic acid)
۳۳/۰۵	ΣPUFA
۱۳/۰۳	Σω-3 PUFA
۲۰/۰۲	Σω-6 PUFA

Data are presented as mean ± standard deviation (n = 3). Different letters in the same row indicate statistically significant differences at the (p < 0.05) level

میگو نشان می‌دهد که عصاره لیپیدی با کیفیت بالا و بدون حلال باقی مانده است. باقیماندن حلال در عصاره‌های جانوری یا گیاهی ممکن است به دلایل زیر رخ دهد:

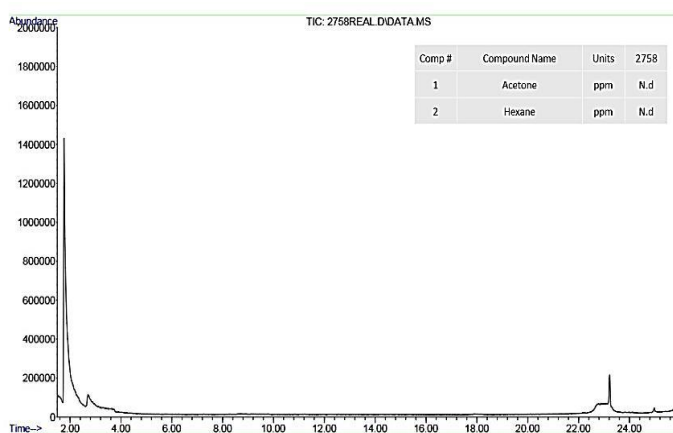
(۱) ناکافی بودن فرآیند تبخیر: اگر حلال به طور کامل تبخیر نشود، ممکن است مقداری از آن در عصاره باقی بماند.

(۲) استفاده از حلال‌های با نقطه جوش بالا: حلال‌هایی مانند آب یا برخی از حلال‌های آلی ممکن است به طور کامل تبخیر نشوند [۴۴].

(۳) عدم استفاده از روش‌های تغليظ مناسب: عدم استفاده از روش‌های مناسب برای تغليظ عصاره، مانند خشک‌انجمادی یا تبخیر در خلاء، می‌تواند منجر به باقیماندن حلال شود [۴۵]. به طور کلی روش استخراج به کار گرفته شده در این پژوهش و گونه انتخاب شده میگو، بازده و خلوص بالا را تضمین می‌کند که در عین حال خواص مفید لیپید را حفظ می‌کند.

۵.۳. بررسی میزان باقیمانده حلال در لیپید

بر اساس فارماکوپه ایالات متحده (USP^۱)، حلال‌های باقیمانده (RS) به حلال‌های آلی گفته می‌شود که در ساخت مواد دارویی، مواد غذایی و محصولات گیاهی استفاده یا تولید می‌شوند و به طور کامل توسط فرآیندهای تولید حذف نمی‌شوند [۴۰]. نکته مهم این است که ممکن است مقداری RS هم در مواد تشکیل دهنده و هم در محصولات نهایی باقی بماند. روش‌های تولید خوب نیازمند آزمایش مواد تشکیل‌دهنده عصاره‌های گیاهی یا جانوری مورد استفاده در تولید محصولات نهایی برای تشخیص آسودگی هستند [۴۱]. از آنجایی که RS احتمالاً خطرات سلامتی دارد و سمیت نشان می‌دهد، کمیت آن‌ها برای اطمینان از اینکه سطح آنها کمتر از حد قابل قبولی است که در شورای بین‌المللی هماهنگی الزامات فنی داروها برای استفاده انسان (ICH) تعیین شده است، مهم است [۴۲]. مطابق شکل (۱)، تجزیه و تحلیل عصاره لیپیدی استخراج شده از محصولات جانبی



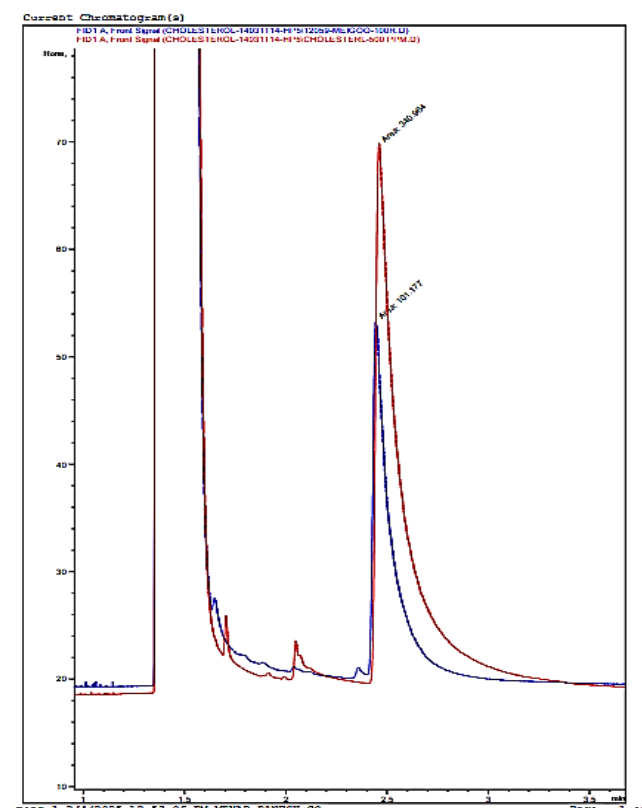
شکل (۱) میزان باقیمانده حلال استون/هگزان در عصاره لیپیدی استخراج شده میگو.

Fig 1. Residual amount of acetone/hexane solvent in shrimp lipid extract.

(*vannamei*) حاوی ۶۵ ml/100g روغن، کلسترون می‌باشد. در حالیکه پیرس و همکاران [۴۷] سطح بالاتری از کلسترون ۴۰ ml/100g روغن را در عصاره لیپیدی میگویی سفید (Litopenaeus schimitti) گزارش کردند. مشابه با این پژوهش، مورا و توتا فیله‌هו [۴۸] کلسترون را در عصاره میگویی صورتی (*Penaeus brasiliensis*) ۵۵۰ ml/100g روغن گزارش نمودند. میگوها سطح کلسترون بالایی دارند، اما برخلاف گوشت قرمز حاوی سطح پایینی از چربی‌های اشباع شده هستند [۴۷]. تحقیقات نشان دادند که مصرف میگو تأثیر منفی قابل توجهی بر سطح کلسترون خون ندارد؛ این بهدلیل وجود ویتامین B12، سلنیوم، اسیدهای چرب غیراشباع امگا-۳ و آستازاتین در میگو است که می‌توانند به بهبود سلامت قلب و عروق کمک کنند [۴۹]. در این راستا، یک مطالعه بالینی نشان داد که مصرف متوسط میگو در افراد دارای سطح کلسترون نرمال، تأثیر منفی بر پروفایل کلی لیپوپروتئین نخواهد داشت و می‌تواند در دستورالعمل‌های تعذیبه‌ای «سلامت قلب» گنجانده شود [۵۰].

۶.۳. بررسی میزان استرون

در روغن‌های خوارکی، استرون‌ها عمدهاً به صورت آزاد و استری هستند که ممکن است اثرات فیزیولوژیکی متفاوتی داشته باشند. همچنین، خواص فیزیکی استرون‌های آزاد و استری نیز متفاوت است؛ به عنوان مثال، استرون‌های استری به راحتی در مخلوط روغن و آب محلول هستند [۳۶]. در مطالعه حاضر، محتوای استرون با استفاده از کروماتوگرافی گازی با آشکارساز یونش شعله‌ای (GC-FID) مطابق استاندارد ملی ایران (شماره ۹۶۷۰) تعیین شد. نتایج نشان داد که عصاره لیپیدی استخراج شده از محصولات جانبی میگو حاوی سطح بالایی از کلسترون (۵۷۰ ml/100g روغن) است (شکل ۲). به عنوان یک استرون غالب در چربی‌های جانوری، کلسترون حدود ۹۰٪ از کل استرون موجود در میگو را تشکیل می‌دهد [۲۳]. میزان کلسترون در لیپید میگو بسته به گونه، تغذیه، سن، جنس، دمای آب، موقعیت جغرافیایی، فصل و روش استخراج متفاوت است [۴۶]. گومزاستاکا و همکاران [۸] گزارش نمودند عصاره لیپیدی استخراج شده از ضایعات میگوی پاسفید غربی (*L.*



شکل (۲) میزان استرون و کلسترون عصاره لیپیدی استخراج شده.

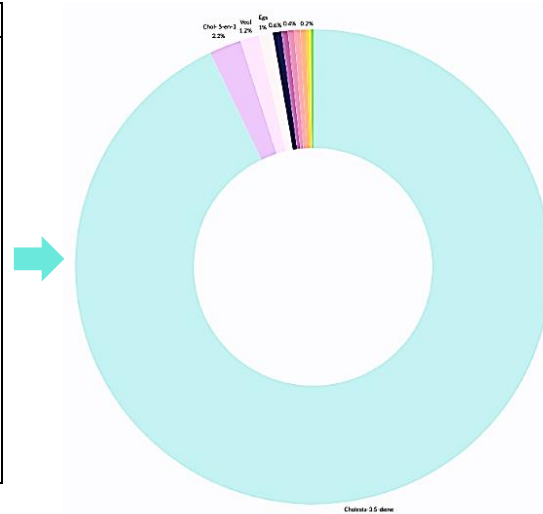
Fig 2. Sterol and cholesterol levels of shrimp lipid extract.

۷.۳ بررسی ترکیب لیپید

بالقوه آن در فرآیندهای ترمیم بافت است [۵۲]. ۲) هموستاز کلسترول: به عنوان یک اکسی‌سترون^۱, Cholesta-3,5-diene در تنظیم سطح کلسترول در بدن نقش دارد. اکسی‌سترون‌ها عموماً به عنوان مولکول‌های سیگنانالی برای حفظ تعادل کلسترول عمل می‌کنند [۵۳]. ۳) پتانسیل نشانگر زیستی: Cholesta-3,5-diene می‌تواند از پیرولیز بافت‌های خاص آزاد شود و به طور بالقوه به عنوان یک نشانگر مولکولی در زمینه‌های خاص عمل کند [۵۴]. ۴) خواص شیمیایی: در تولید اسیدهای چرب استفاده می‌شود و به عنوان مایع بی‌رنگ متعلق به کلاس متیل کتون‌ها طبقه‌بندی می‌شود، اگرچه این طبقه‌بندی ممکن است اشتباه باشد زیرا در درجه اول به عنوان اکسی‌سترون شناخته می‌شود [۵۵]. بنابراین نتایج بررسی پروفایل عصاره لیپیدی مورد تحقیق نشان می‌دهد که اگرچه ترکیب عمدۀ تشکیل‌دهنده این لیپید یک جزء تغذیه‌ای مستقیم نیست، اما نقش آن در مسیرهای بیوشیمیایی و کاربردهای بالقوه در ترمیم زخم اهمیت آن را در تحقیقات مرتبط با سلامت بر جسته می‌کند.

No	Area%	Name
1	0.40	Nonane
2	0.42	trans, trans-1,6-Dimethylspiro [4.5] decane
3	0.38	5,7-Dodecadiene, (Z, Z)-
4	0.09	Undecane
5	0.08	Methyl-3-indazolone2
6	0.10	Decane
7	1.24	Verticisol
8	0.21	cis, cis, cis-7,10,13-Hexadecatrienal
9	2.16	Cholest-5-en-3-ol (3 β)-, carbonochloride
10	0.97	5 α -Ergost-14-ene
11	0.44	(-)Sinularen
12	0.57	Andrographolide
13	92.01	Cholesta-3,5-diene

هر لیپید دارای یک ترکیب منحصر به فرد از اسیدهای چرب، استرون‌ها، توکوفرون‌ها و سایر ترکیبات لیپیدی است که ویژگی‌های فیزیکو‌شیمیایی و عملکردی آن را تعیین می‌کند؛ لذا، درک دقیق ترکیب یک روغن از طریق سنجش پروفایل لیپیدی می‌تواند به شناسایی ویژگی‌های تغذیه‌ای، پایداری اکسایشی و کاربردهای بالقوه آن در صنایع مختلف کمک کند [۵۱]. به طور کلی ۱۳ ترکیب مختلف بوسیله GC-MS در عصاره لیپیدی استخراج شده از محصولات جانی می‌گویی بری سبز شناسایی شد. در این میان Cholesta-3,5-diene ترکیب اصلی (۹۲٪) موجود در نمونه استخراج شده بود (شکل ۳) که یک ترکیب استروئیدی با چندین ویژگی بیولوژیکی مربوط به بیوشیمی و تحقیقات علوم زیستی است [۵۲]. این ترکیب نقش‌های مختلفی در؛ ۱) بهبود زخم: نشان داده شده است که Cholesta-3,5-diene، همراه با سایر لیپیدها، با تسهیل مهاجرت فیبروبلاست و جذب نوتروفیل به محل زخم، موجب بهبود زخم می‌شوند که نشان‌دهنده نقش



شکل (۳) ترکیبات لیپید حاصل از محصولات جانی می‌گویی بری سبز. رنگ آبی: لیپید استخراج شده، رنگ قرمز: استاندارد کلسترول
Fig 3. Lipid compositions of green tiger shrimp by-products. Blue: extracted lipid, red: cholesterol standard

TBARS به ترتیب ۲/۲۱ ml/kg هیدروپروکسید کومن / لیپید و ۰/۳۱ ml/kg مالون‌آلدئید (MDA) / بر لیپید تعیین شد که نشان‌دهنده کیفیت خوب عصاره لیپیدی حاصل از محصولات

۸.۳ بررسی شاخص‌های کیفیت عصاره لیپیدی می‌گو در مرحله نهایی تحقیق حاضر، شاخص‌های اکسیداسیون روغن شامل اکسیداسیون اولیه (PV) و ثانویه (TBARS) مورد بررسی قرار گرفت. مطابق جدول (۳)، مقادیر اولیه PV و

۴-هیدروکسی-۲-نونال (HNE)، هیدروکربن‌ها، آلدئیدها و کتون‌ها (افزایش مقادیر TBARS می‌شوند [۵۹]. پیشرفت اکسیداسیون لیپید به وضوح با کاهش کیفیت محصول، مانند ترشیدگی، بی‌طعمی، تشکیل ترکیبات سمی، کاهش ارزش غذایی و کاهش پذیرش مصرف‌کننده مرتبط است. به طور کلی، بررسی دقیق چگونگی تأثیر رادیکال‌های هیدروکسیل بر تجزیه چربی‌ها و محصولات جانبی حاصل از این واکنش، به دلیل وجود هزاران نوع لیپید مختلف و واکنش متفاوت هر کدام با رادیکال‌ها کار دشواری است [۵۹]. بنابراین فهم ارتباط بین تأثیر اکسیداسیون چربی‌ها روی ترکیبات چربی در خصایع میگو، می‌تواند در توضیح تغییر ویژگی‌های چربی (مثل طعم، ماندگاری یا کیفیت) محصولات جانبی میگو کمک نماید.

جانبی میگوی ببری سبز است. نتایج بدست آمده در تطابق با مقادیر PV (۱/۵۰ ml/kg) اکیوالان اکسیژن فعال / لیپید) و MDA (۰/۳۰ mg/kg) TBARS بالتی و همکاران [۶۰] برای عصاره لیپیدی میگوی پاسفید غربی (*P. vannamei*) است. گزارش شده است زنجیره‌های اسیدهای چرب چندغیراشباع (PUFAs) بسیار واکنش‌پذیر هستند و در ابتدا توسط رادیکال‌های هیدروکسیل تشکیل شده از طریق مکانیسم انتزاع تکالکترون^۱ مورد حمله قرار می‌گیرند [۷]. این منجر به تولید هیدروپراکسیدهای متعدد که نشان‌دهنده اکسیداسیون اولیه (افزایش PV) می‌باشد، می‌گردد. هیدروپراکسیدهای حاصل ناپایدار هستند و باعث واکنش‌های بیشتر برای تولید گونه‌های اکسیداسیون ثانویه از جمله MDA هستند.

جدول (۳) شاخص‌های کیفیت عصاره لیپیدی استخراج شده میگو.

Table 3. Lipid quality indices of shrimp lipid extract.

TBA Index (mg malondialdehyde (MDA)/kg lipid)	PV Index (mg cumene hydroperoxide/kg lipid)	Name
۰/۲۱ ± ۰/۱۶	۲/۲۱ ± ۰/۴۷	Lipid from shrimp by-products

Data are presented as mean ± standard deviation (n = 3)

داشتند که نشان می‌دهد با رعایت شرایط نگهداری مناسب، عصاره لیپیدی می‌تواند در کاربردهای مختلف مورد استفاده قرار گیرد. در مجموع، مطالعه حاضر پتانسیل محصولات جانبی میگوی ببری سبز را به عنوان منبعی ارزشمند جهت استخراج آستازانتین و اسیدهای چرب امگا-۳ با کیفیت بالا جهت کاربردهای غذادارویی بر جسته می‌نماید.

تشکر و قدردانی

این پژوهه با حمایت مالی مرکز مطالعات و همکاری‌های علمی بین‌المللی وزارت علوم تحقیقات و فناوری برگرفته شده از طرح «۴۰۲۰۵۶۱» و معاونت پژوهش دانشگاه تربیت مدرس انجام پذیرفته است.

۴. نتیجه‌گیری

بهره‌برداری از محصولات جانبی میگو که اغلب دور ریخته می‌شوند، می‌تواند با ایجاد ارزش افزوده به توسعه پایدار صنایع عمل‌آوری آبزیان کمک نماید. نتایج آزمون‌های سنجش میزان آستازانتین و اسیدهای چرب نشان داد که عصاره لیپیدی استخراج شده از محصولات جانبی میگو سرشار از رنگدانه کارتوئنیدی آستازانتین به عنوان یک سوپر آنتی‌اکسیدان و اسیدهای چرب ضروری، به ویژه اسیدهای چرب چندغیراشباع (PUFAs) می‌باشد که دارای فواید قلبی-عروقی و خواص ضدالتهابی هستند. تحلیل استرول‌ها نیز نشان‌دهنده وجود مقدار قابل توجهی کلسترول بود که با ترکیب‌های لیپیدی سخت‌پوستان همخوانی دارد. همچنین بررسی ترکیب لیپیدی مؤید حضور ۱۳ ماده مختلف و Cholesta-3,5-diene در نمونه استخراج شده بود. شاخص‌های کیفیت عصاره لیپیدی (PV و TBARS) نیز در محدوده قابل قبولی قرار

منابع

- [1] Shiekh, K. A., Benjakul, S., & Gulzar, S. (2021). Impact of pulsed electric field and vacuum impregnation with Chamuang leaf extract on quality changes in Pacific white shrimp packaged under modified atmosphere. *LWT*, 149, 111899. DOI: [10.1016/j.lwt.2021.111899](https://doi.org/10.1016/j.lwt.2021.111899)
- [2] Mittal, A., Singh, A., Aluko, R. E., & Benjakul, S. (2021). Pacific white shrimp (*Litopenaeus vannamei*) shell chitosan and the conjugate with epigallocatechin gallate: Antioxidative and antimicrobial activities. *J. Food Biochem.*, 45(1), e13569. 226. DOI: [10.1111/jfbc.13569](https://doi.org/10.1111/jfbc.13569)
- [3] Cabanillas-Bojórquez, L. A., Gutiérrez-Grijalva, E. P., Castillo-López, R. I., Contreras-Angulo, L. A., Angulo-Escalante, M. A., López-Martínez, L. X., Ríos-Iribar, E. Y., & Heredia, J. B. (2021). Bioprocessing of shrimp waste using novel industrial by-products: Effects on nutrients and lipophilic antioxidants. *Ferment.*, 7(4), 312. DOI: [10.3390/fermentation7040312](https://doi.org/10.3390/fermentation7040312)
- [4] Gulzar, S., Raju, N., Nagaraj Rao, R. C., & Benjakul, S. (2020). Oil and pigments from shrimp processing by-products: Extraction, composition, bioactivities and its application-A review. *Trends Food Sci Technol*, 100, 307-319. DOI: [10.1016/j.tifs.2020.04.005](https://doi.org/10.1016/j.tifs.2020.04.005)
- [5] Subramanian, B., Thibault, M. H., Djaoued, Y., Pelletier, C., Touaibia, M., & Tchoukanova, N. (2015). Chromatographic, NMR and vibrational spectroscopic investigations of astaxanthin esters: application to "Astaxanthin-rich shrimp oil" obtained from processing of Nordic shrimps. *Analyst*, 140(21), 7423-7433. DOI: [10.1039/c5an01261a](https://doi.org/10.1039/c5an01261a)
- [6] Miniadis-Meimargoglou, S., & Sinanoglou, V.J. (2013). Lipid profile and nutritional evaluation of shrimps. *AFSci*, 661(2), 21-40.
- [7] Raju, N., Gulzar, S., Buamard, N., Ma, L., Ying, X., Zhang, B., & Benjakul, S. (2021). Comparative study of astaxanthin, cholesterol, fatty acid profiles, and quality indices between shrimp oil extracted from hepatopancreas and cephalothorax. *Front. Nutr.*, 8, 803664. DOI: [10.3389/fnut.2021.803664](https://doi.org/10.3389/fnut.2021.803664)
- [8] Gómez-Estaca, J., Calvo, M. M., Álvarez-Acero, I., Montero, P., & Gómez-Guillén, M. C. (2017). Characterization and storage stability of astaxanthin esters, fatty acid profile and α -tocopherol of lipid extract from shrimp (*L. vannamei*) waste with potential applications as food ingredient. *Food Chem.*, 216, 37-44. DOI: [10.1016/j.foodchem.2016.08.016](https://doi.org/10.1016/j.foodchem.2016.08.016)
- [9] Wu, H., Niu, H., Shao, A., Wu, C., Dixon, B. J., Zhang, J., ... & Wang, Y. (2015). Astaxanthin as a potential neuroprotective agent for neurological diseases. *Mar. Drugs*, 13(9), 5750-5766. DOI: [10.3390/md13095750](https://doi.org/10.3390/md13095750)
- [10] Björkegren, J. L., & Lusis, A. J. (2022). Atherosclerosis: recent developments. *Cell*, 185(10), 1630-1645. DOI: [10.1016/j.cell.2022.04.004](https://doi.org/10.1016/j.cell.2022.04.004)
- [11] Raju, N., Sae-leaw, T., Osako, K., & Benjakul, S. (2022). Improved cholesterol depletion with enhanced astaxanthin and polyunsaturated fatty acids of lipid from Pacific white shrimp cephalothorax using prior ethanolic separation of polar lipid and β -Cyclodextrin. *JFST*, 59(6), 2255-2262. DOI: [10.1007/s13197-021-05238-7](https://doi.org/10.1007/s13197-021-05238-7)
- [12] Aref, M., Movahedi, A., Heidari-Beni, M., & Kelishadi, R. (2023). Effects of shrimp oil on cardio-metabolic risk factors in children and adolescents. *IJVNR*, 93 (6), 490-497. DOI: [10.1024/0300-9831/a000755](https://doi.org/10.1024/0300-9831/a000755)
- [13] Ei, Z. Z., Benjakul, S., Buamard, N., Visuttijai, K., & Chanvorachote, P. (2022). Shrimp lipid prevents endoplasmic reticulum-mediated endothelial cell damage. *Foods*, 11(19), 3076. DOI: [10.3390/foods11193076](https://doi.org/10.3390/foods11193076)
- [14] Sharayei, P., Azarpazhooh, E., Zomorodi, S., Einafshar, S., & Ramaswamy, H. S. (2021). Optimization of ultrasonic-assisted extraction of astaxanthin from green tiger (*Penaeus semisulcatus*) shrimp shell. *Ultrason. Sonochem*, 76, 105666. DOI: [10.1016/j.ultsonch.2021.105666](https://doi.org/10.1016/j.ultsonch.2021.105666)
- [15] Rodrigues, L. A., Pereira, C. V., Leonardo, I. C., Fernández, N., Gaspar, F. B., Silva, J. M., ... & Matias, A. A. (2020). Terpene-based natural deep eutectic systems as efficient solvents to recover astaxanthin from brown crab shell residues. *ACS Sustain. Chem. Eng*, 8(5), 2246-2259. DOI: [10.1021/acssuschemeng.9b06283](https://doi.org/10.1021/acssuschemeng.9b06283)
- [16] Roy, V. C., Getachew, A. T., Cho, Y. J., Park, J. S., & Chun, B. S. (2020). Recovery and bio-potentialities of astaxanthin-rich oil from shrimp (*Peneanus monodon*) waste and mackerel (*Scomberomorus niphonius*) skin using concurrent supercritical CO₂ extraction. *J. Supercrit. Fluids*, 159, 104773. DOI: [10.1016/j.supflu.2020.104773](https://doi.org/10.1016/j.supflu.2020.104773)
- [17] Haque, F., Dutta, A., Thimmanagari, M., & Chiang, Y. W. (2016). Intensified green production of astaxanthin from *Haematococcus pluvialis*. *Food Bioprod. Process*, 99, 1-11. DOI: [10.1016/j.fbp.2016.03.002](https://doi.org/10.1016/j.fbp.2016.03.002)
- [18] Haq, M., Ahmed, R., Cho, Y. J., & Chun, B. S. (2017). Quality properties and bio-potentiality of edible oils from Atlantic salmon by-products

- extracted by supercritical carbon dioxide and conventional methods. *Waste Biomass Valori*, 8, 1953-1967. DOI: [10.1007/s12649-016-9710-2](https://doi.org/10.1007/s12649-016-9710-2)
- [19] Metcalfe, L. D., Schmitz, A. A., & Pelka, J. R. (1966). Rapid preparation of fatty acid esters from lipids for gas chromatographic analysis. *Anal. Chem.*, 38(3), 514-515.
DOI: [10.1007/BF02641197](https://doi.org/10.1007/BF02641197)
- [20] Pérez Pavón, J. L., del Nogal Sanchez, M., García Pinto, C., Fernández Laespada, M. E., & Cordero, B. M. (2006). Use of mass spectrometry methods as a strategy for detection and determination of residual solvents in pharmaceutical products. *Anal. Chem.*, 78(14), 4901-4908. DOI: [10.1021/ac060426h](https://doi.org/10.1021/ac060426h)
- [21] I.N.S.O (2007). Animal and Vegetable Fats and Oils-Determination of Individual and Total Sterol Contents by Gas Chromatography, No 9670. Iran National Stand Organization, 1-22.
- [22] Gulzar, S., & Benjakul, S. (2020). Impact of pretreatment and atmosphere on quality of lipids extracted from cephalothorax of Pacific white shrimp by ultrasonic assisted process. *Food Chem.*, 309, 125732.
DOI: [10.1016/j.foodchem.2019.125732](https://doi.org/10.1016/j.foodchem.2019.125732)
- [23] Raju, N., & Benjakul, S. (2020). Use of beta cyclodextrin to remove cholesterol and increase astaxanthin content in shrimp oil. *Eur. J. Lipid Sci. Technol.*, 122(2), 1900242.
DOI: [10.1002/ejlt.201900242](https://doi.org/10.1002/ejlt.201900242)
- [24] Ahmadkelayeh, S., & Hawboldt, K. (2020). Extraction of lipids and astaxanthin from crustacean by-products: A review on supercritical CO₂ extraction. *Trends Food Sci Technol*, 103, 94-108. DOI: [10.1016/j.tifs.2020.07.016](https://doi.org/10.1016/j.tifs.2020.07.016)
- [25] Wang, J. L., Yu, Z. L., Yin, F. W., Li, D. Y., Liu, H. L., Song, L., & Zhou, D. Y. (2021). Comparison of different solvents for extraction of oils from by-products of shrimps *Penaeus vannamei* and *Procambarus clarkia*. *JFPP*, 45(9), e15754. DOI: [10.1111/jfpp.15754](https://doi.org/10.1111/jfpp.15754)
- [26] Gulzar, S., & Benjakul, S. (2018). Ultrasound waves increase the yield and carotenoid content of lipid extracted from cephalothorax of pacific white shrimp (*Litopenaeus vannamei*). *Eur. J. Lipid Sci. Technol*, 120(5), 1700495.
DOI: [10.1002/ejlt.201700495](https://doi.org/10.1002/ejlt.201700495)
- [27] Santos, C. A. D., Padilha, C. E., Damasceno, K. S., Leite, P. I., Araújo, A. C. D., Freitas, P. R., ... & Assis, C. F. D. (2021). Astaxanthin recovery from shrimp residue by solvent ethanol extraction using choline chloride: Glycerol deep eutectic solvent as adjuvant. *J. Braz. Chem. Soc*, 32(5), 1030-1039.
DOI: [10.21577/0103-5053.20210005](https://doi.org/10.21577/0103-5053.20210005)
- [28] Hu, J., Lu, W., Lv, M., Wang, Y., Ding, R., & Wang, L. (2019). Extraction and purification of astaxanthin from shrimp shells and the effects of different treatments on its content. *Rev. Bras. Farmacogn*, 29, 24-29.
DOI: [10.1016/j.bjp.2018.11.004](https://doi.org/10.1016/j.bjp.2018.11.004)
- [29] Gimeno, M., Ramírez-Hernández, J. Y., Martínez-Ibarra, C., Pacheco, N., García-Arrazola, R., Bárzana, E., & Shirai, K. (2007). One-solvent extraction of astaxanthin from lactic acid fermented shrimp wastes. *J. Agric. Food Chem*, 55(25), 10345-10350.
DOI: [10.1021/jf071469h](https://doi.org/10.1021/jf071469h)
- [30] Ruen-ngam, D., Shotipruk, A., & Pavasant, P. (2011). Comparison of extraction methods for recovery of astaxanthin from *Haematococcus pluvialis*. *Sep. Sci. Technol*, 46(1), 64-70.
DOI: [10.1080/01496395.2010.493546](https://doi.org/10.1080/01496395.2010.493546)
- [31] Huang, J., & Hui, B. (2020). Feed-induced Variation in the Carotenoid Composition of Brine Shrimp. *eFood*, 1(3), 247-253.
DOI: [10.2991/efood.k.200522.001](https://doi.org/10.2991/efood.k.200522.001)
- [32] Liu, X., McClements, D. J., Cao, Y., & Xiao, H. (2016). Chemical and physical stability of astaxanthin-enriched emulsion-based delivery systems. *Food Biophys*, 11(3), 302-310.
DOI: [10.1007/s11483-016-9443-6](https://doi.org/10.1007/s11483-016-9443-6)
- [33] Bengtsson, A., Alminger, M. L., & Svanberg, U. (2009). *In vitro* bioaccessibility of β-carotene from heat-processed orange-fleshed sweet potato. *J. Agri. Food Chem*, 57(20), 9693-9898.
DOI: [10.1021/jf901692r](https://doi.org/10.1021/jf901692r)
- [34] Silva, H. D., Cerqueira, M. A., Souza, B. W. S., Ribeiro, C., Avides, M. C., Quintas, M. A. C., Coimbra, J. S. R., Carneiro-Da-Cunha, M. G., & Vicente, A. A. (2011). Nanoemulsions of β-carotene using a high-energy emulsification-evaporation technique. *J. Food Eng*, 102(2), 130-135. DOI: [10.1016/j.jfoodeng.2010.08.005](https://doi.org/10.1016/j.jfoodeng.2010.08.005)
- [35] Azimi, O., Mohebbi, M., Farhoosh, R., & Saadatmand-Tarzjan, M. (2020). Discerning expiration status of edible vegetable oils based on color changes during oxidation process: Using digital image and linear discriminant analysis in both primary and secondary oxidations. *IFSTRJ*, 15(6), 145-158.
DOI: [10.22067/ifstrj.v1396i0.70907](https://doi.org/10.22067/ifstrj.v1396i0.70907)
- [36] Socaci, C., Dulf, F., Socaci, S., Ranga, F., Bunea, A., Fetea, F., & Pintea, A. (2022). Phytochemical profile of eight categories of functional edible oils: A metabolomic approach based on chromatography coupled with mass spectrometry. *Appl. Sci*, 12(4), 1933.
DOI: [10.3390/app12041933](https://doi.org/10.3390/app12041933)

- [37] Hosseini, O., Abolghasem Esmaili, F., Majid, S., & Shima Masoudi, A. (2011). Comparison of fatty acid composition between farmed and wild Indian white shrimps, *Finneropenaeus indicus*. *FNS*, 2, 824-829. DOI: [10.4236/fns.2011.28113](https://doi.org/10.4236/fns.2011.28113)
- [38] Semenoglou, I., Katsouli, M., Giannakourou, M., & Taoukis, P. (2024). Recovery of omega-3-rich lipids: toward the sustainable valorization of seabass industry side streams. *Separations*, 11(4), 101. DOI: [10.3390/separations11040101](https://doi.org/10.3390/separations11040101)
- [39] Aubourg, S. P., Rodríguez, A., Trigo, M., & Medina, I. (2023). Yield enhancement of valuable lipid compounds from squid (*doryteuthis gahi*) waste by ethanol/acetone extraction. *Foods*, 12(14). DOI: [10.3390/foods12142649](https://doi.org/10.3390/foods12142649)
- [40] Al-Taher, F., & Nemzer, B. (2018). Determination and quantitation of residual solvents in natural food ingredients using a static headspace gas chromatography with flame ionization detection and mass spectrometric detection method. *J. Food Prot.*, 81(10), 1573-1581. DOI: [10.4315/0362-028X.JFP-18-142](https://doi.org/10.4315/0362-028X.JFP-18-142)
- [41] U.S. Food and Drug Administration. (2012). Current good manufacturing practice in manufacturing, packing, or holding human food, In: *FDA*, Washington, DC. <https://www.ecfr.gov/current/title-21/part-110>
- [42] Pharmacopeia, U. S. (2009). Particulate matter in injections. USP/NF General Chapter. In: *USP* 788. Rockville.
- [43] Wypych, G. (2001). *Handbook of solvents (1th ed.)*. Toronto: ChemTec Publishing.
- [44] Starciuc, T., Correia, N. T., Guinet, Y., Paccou, L., & Hédoux, A. (2018). *Freeze drying of pharmaceuticals and biologicals (2th ed.)*. Garmisch-Partenkirchen: In *Freeze Drying of Pharmaceuticals and Biologicals*.
- [45] Bhatnagar, B. S., Tchessalov, S., Lewis, L. M., & Johnson, R. (2013). *Freeze drying of biologics (4th ed.)*. Boca Raton: Encyclopedia of pharmaceutical science and technology.
- [46] Sampaio, G. R., Bastos, D. H. M., Soares, R. A. M., Queiroz, Y. S., & Torres, E. A. F. S. (2006). Fatty acids and cholesterol oxidation in salted and dried shrimp. *Food Chem.*, 95(2), 344-351. DOI: [10.1016/j.foodchem.2005.02.030](https://doi.org/10.1016/j.foodchem.2005.02.030)
- [47] Pires, D. R., De Moraes, A. C. N., Coelho, C. C. S., Marinho, A. F., Góes, L. C. D. S. A., Augusta, I. M., ... & Saldanha, T. (2018). Nutritional composition, fatty acids and cholesterol levels in Atlantic white shrimp (*Litopenaeus schmitti*). *Int. Food Res. J.*, 25(1), 151-157.
- [48] Moura, A. F. P. D., & Tenuta-Filho, A. (2002). Effects of processing on free cholesterol and 7-ketcholesterol concentrations in pink-shrimp. *Food Sci. Technol.*, 22, 117-121. DOI: [10.1590/S0101-20612002000200003](https://doi.org/10.1590/S0101-20612002000200003)
- [49] Dayal, J. S., Ponniah, A. G., Khan, H. I., Babu, E. M., Ambasankar, K., & Vasagam, K. K. (2013). Shrimps—a nutritional perspective. *Curr. Sci.*, 1487-1491. <http://www.jstor.org/stable/24092471>
- [50] e Silva, E. D. O., Seidman, C. E., Tian, J. J., Hudgins, L. C., Sacks, F. M., & Breslow, J. L. (1996). Effects of shrimp consumption on plasma lipoproteins. *AJCN*, 64(5), 712-717. DOI: [10.1093/ajcn/64.5.712](https://doi.org/10.1093/ajcn/64.5.712)
- [51] Zhu, Y., Li, P., Meng, R., Li, X., Qiu, Y., Wang, L., Zhang, S., Zhang, X., Lin, H., Zhai, H., & Liu, K. (2022). Lipid profiles of the heads of four shrimp species by UPLC-Q-Exactive Orbitrap/MS and their cardiovascular activities. *Molecules*, 27(2), 350. DOI: [10.3390/molecules27020350](https://doi.org/10.3390/molecules27020350)
- [52] Al-Hassan, J. M., Hinek, A., Renno, W. M., Wang, Y., Liu, Y. F., Guan, R., Wen, X. Y., Litvack, M. L., Lindenmaier, A., Afzal, M., Paul, B., Oommen, S., Nair, D., Kumar, J., Khan, M. A., Palaniyar, N., & Pace-Asciak, C. (2020). Potential mechanism of dermal wound treatment with preparations from the skin gel of arabian gulf catfish: a unique furan fatty acid (F6) and Cholesta-3,5-Diene (S5) recruit neutrophils and fibroblasts to promote wound healing. *Front. pharmacol.*, 11, 899. DOI: [10.3389/fphar.2020.00899](https://doi.org/10.3389/fphar.2020.00899)
- [53] Sigma-Aldrich. (n.d.). Cholest-5-en-3-ol (3 β)-, 3-(carbonochloride) [C6012]. Retrieved March 1, 2025, from <https://www.sigmaaldrich.com/US/en/product/sigma/c6012>
- [54] Bae, M. S., Park, J. K., Kim, K. H., Cho, S. S., Lee, K. Y., & Shon, Z. H. (2018). Emission and cytotoxicity of surgical smoke: Cholesta-3,5-diene released from pyrolysis of prostate tissue. *Atmosphere*, 9(10), 381. DOI: [10.3390/atmos9100381](https://doi.org/10.3390/atmos9100381)
- [55] MedChemExpress. (n.d.). Cholesta-3,5-diene. Retrieved March 1, 2025, from <https://www.medchemexpress.com/cholesta-3-5-diene.html>
- [56] Balti, R., Ben Mansour, M., Zayoud, N., Le Balc'h, R., Brodu, N., Arhaliass, A., & Massé, A. (2020). Active exopolysaccharides based edible coatings enriched with red seaweed (*Gracilaria gracilis*) extract to improve shrimp preservation during refrigerated storage. *Food Biosci.*, 34, 100522. DOI: [10.1016/j.fbio.2019.100522](https://doi.org/10.1016/j.fbio.2019.100522)

- [57] Mariutti, L. R., & Bragagnolo, N. (2017). Influence of salt on lipid oxidation in meat and seafood products: A review. *Food. Res Int*, 94, 90-100. DOI: [10.1016/j.foodres.2017.02.003](https://doi.org/10.1016/j.foodres.2017.02.003)
- [58] Tu, C. hai, Qi, X. er, Shui, S. shan, Lin, H. min, Benjakul, S., & Zhang, B. (2022). Investigation of the changes in lipid profiles induced by hydroxyl radicals in whiteleg shrimp (*Litopenaeus vannamei*) muscle using LC/MS-based lipidomics analysis. *Food Chem*, 369, 130925. DOI: [10.1016/j.foodchem.2021.130925](https://doi.org/10.1016/j.foodchem.2021.130925)
- [59] Pascual-Silva, C., Alemán, A., López-Caballero, M. E., Montero, M. P., & Gómez-Guillén, M. del C. (2022). Physical and oxidative water-in-oil emulsion stability by the addition of liposomes from shrimp waste oil with antioxidant and anti-inflammatory properties. *Antioxidants*, 11(11), 2236. DOI: [10.3390/antiox11112236](https://doi.org/10.3390/antiox11112236)

**Research Article**

Investigation of sterols, fatty acids and qualitative indicators of lipid extract from green tiger shrimp (*Penaeus semisulcatus*) by-products

Zahra Mousavi¹, Seyed Fakhreddin Hosseini^{2,*}

1. Ph.D. Student, Department of Seafood Processing, Faculty of Marine Sciences,
Tarbiat Modares University, Noor, Iran

2. Associate Professor, Department of Seafood Processing, Faculty of Marine Sciences,
Tarbiat Modares University, Noor, Iran

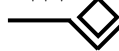
(Received 4 May 2025, Received in revised form 16 August 2025, Accepted 16 August 2025)

Introduction: In recent years, there has been growing interest in utilizing aquatic by-products as valuable sources of bioactive compounds for the food, pharmaceutical, and cosmetic industries. Green tiger shrimp (*Penaeus semisulcatus*), a commercially important species, generates significant amounts of processing by-products (including heads, shells, and viscera) rich in valuable compounds such as sterols, essential fatty acids, and carotenoids. Characterizing these compounds serves a dual purpose: it enables the development of novel functional products while promoting sustainable management of fishery by-products. Marine sterols, as bioactive lipid components, play crucial roles in steroid hormone synthesis and cellular membrane integrity. The fatty acid profile of green tiger shrimp by-products is particularly notable for its high concentrations of polyunsaturated fatty acids (PUFAs), including eicosapentaenoic acid (EPA) and docosahexaenoic acid (DHA), which demonstrate cardioprotective effects. Recent studies report that saturated fatty acids constitute 35.04-52.43% of total lipids, with variations depending on processing conditions such as temperature and extraction methods. Astaxanthin, recognized as the most potent natural antioxidant present in shrimp by-products, contributes not only to the species' characteristic pigmentation but also offers significant health benefits, including anti-inflammatory properties and visual system protection. Lipid quality indices, particularly peroxide value (PV) and thiobarbituric acid reactive substances (TBARS) as measures of oxidative stability, are critical determinants of shelf-life and industrial applicability. This study represents the first comprehensive investigation of the lipid profile and quality parameters of green tiger shrimp by-products, addressing a significant gap in current research.

Materials and methods: To investigate the lipid composition of green tiger shrimp by-products, samples of skin, head, and tail were collected from shrimp farming centers in southern Iran and subjected to lyophilization (freeze-drying). The ground samples were then homogenized using a 42-mesh sieve. Lipids were then extracted via Soxhlet extraction with acetone/hexane (1:1, v/v) at 50°C for 2 hours. Sterols were analyzed by GC-MS following saponification and derivatization with BSTFA. Fatty acid profiles were determined by preparing fatty acid methyl esters (FAME) using BF₃-methanol catalysis, followed by GC-FID analysis (CP-Sil 88 column). Astaxanthin was quantified spectrophotometrically at $\lambda_{\text{max}} = 462$ nm using a standard calibration curve. Color indices (L, a, b*) were measured with a portable colorimeter. Lipid quality assessment included: Solvent residue analysis by GC-MS, peroxide value determination via iodometric titration (AOCS Cd 8-53), and TBARS measurement at 532 nm after reaction with 2-thiobarbituric acid. All experiments were conducted in triplicate under controlled temperature and light conditions. Data were analyzed using SPSS v.26 with Tukey's test ($p < 0.05$).

Results and discussion: The results of this study showed that the lipid extraction efficiency from green tiger shrimp by-products was 2.81% using the acetone-hexane (50:50, v/v) solvent system. The astaxanthin

* Corresponding author: hosseinif@modares.ac.ir



concentration was 10.34 mg/100 g oil, a potent antioxidant, highlighting the strong antioxidant potential of this source for applications in the food and cosmetic industries. This finding is consistent with the findings of Sachindra et al., who used acetone as a solvent for astaxanthin extraction. The total PUFA content of 33.05%, particularly the ω -3 PUFA (13.03%), reinforces the potential of this lipid as a beneficial source for preventing cardiovascular diseases. The cholesterol content (570 mg/100 g oil) is higher than that reported in the cephalothorax of Vanami shrimp (65–70 mg) but remains within a safe range for human consumption. For pharmaceutical applications, the use of cholesterol-lowering agents, such as saponins or β -cyclodextrins, is recommended. Lipid profile analysis revealed that up to 92% of the extracted lipid consists of cholesta-3,5-diene, a minor steroid compound commonly found in cholesterol-containing samples. This compound has several biological properties relevant to biochemistry and life science research. The lipid exhibited favorable oxidative stability, with a peroxide index of 2.21 mg hydroperoxide/kg and a TBARS value of 0.305 mg MDA/kg, indicating good quality and the protective effect of natural antioxidants such as astaxanthin. These results align with those of Gulzar and Benjakul, who confirmed the stability of marine lipids for up to 30 days. The color index *a* value of 18.13 reflects the high astaxanthin content, highlighting its potential for industrial applications as a natural colorant.

Conclusions: This study demonstrates that green tiger shrimp by-products are a rich source of bioactive compounds with broad applications in the food, pharmaceutical, and cosmetic industries. The high lipid extraction efficiency, elevated astaxanthin content, and significant contribution of omega-3 fatty acid highlight the potential of these by-products for the development of health-promoting products. Although the cholesterol content is higher than in some other species, it remains within safe limits for human consumption. Moreover, the presence of natural antioxidants (e.g., astaxanthin) ensure favorable oxidative stability, enhancing shelf life and industrial applicability. The acetone-hexane solvent system proved effective for the simultaneous extraction of polar and non-polar compounds, while compliance with USP standards guarantees the absence of solvent residues, ensuring product safety. These findings represent a significant step toward a circular economy, as 40–50% of shrimp processing waste can be converted into value-added products. Future research should focus on optimizing green extraction technologies and assessing compound toxicity in animal models to further validate their applicability.

Keywords: *Shrimp by-products, lipid extract, astaxanthin, polyunsaturated fatty acids, cholesterol*

How to cite this article:

Mousavi, Z. & Hosseini, S. F. (2025). Investigation of sterols, fatty acids and qualitative indicators of lipid extract from green tiger shrimp (*Penaeus semisulcatus*) by-products. *Innov. Food Technol.*, 12 (4), 415, 431
DOI: <http://dx.doi.org/10.22104/IFT.2025.7605.2214>